

1/26

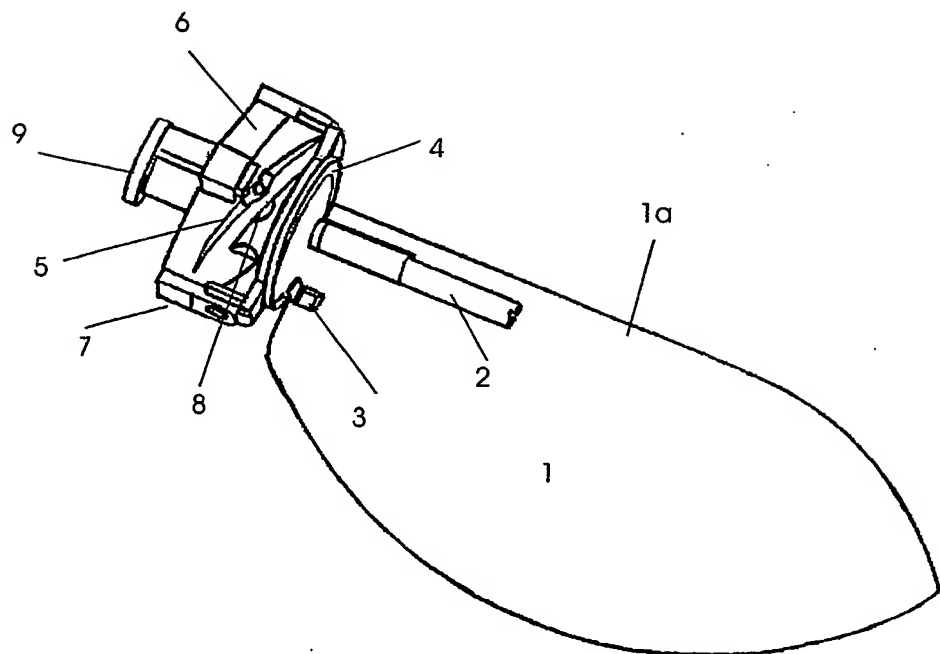


Fig. 1

2/26

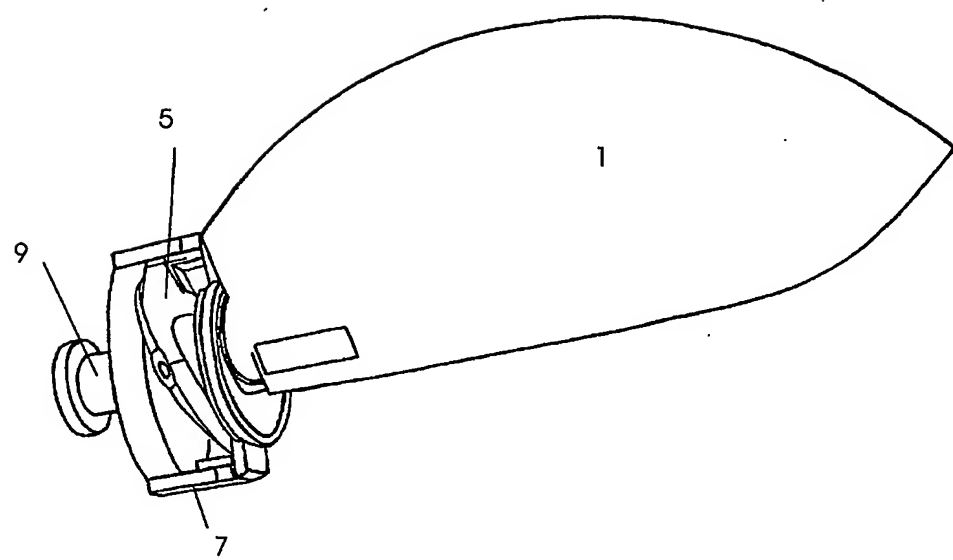


Fig. 2

3/26

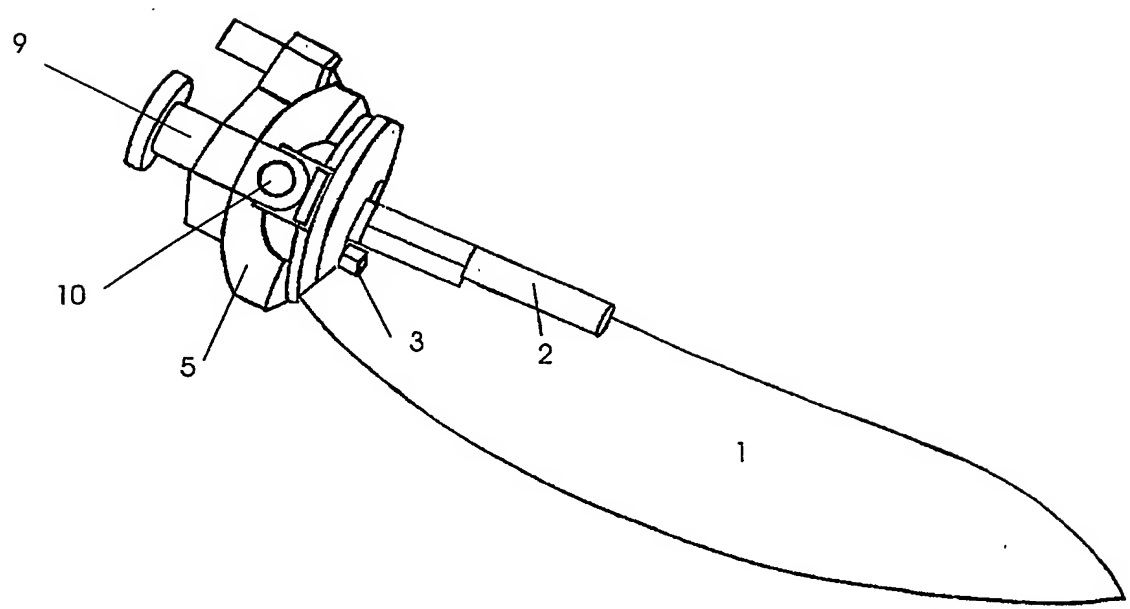


Fig. 3

4/26

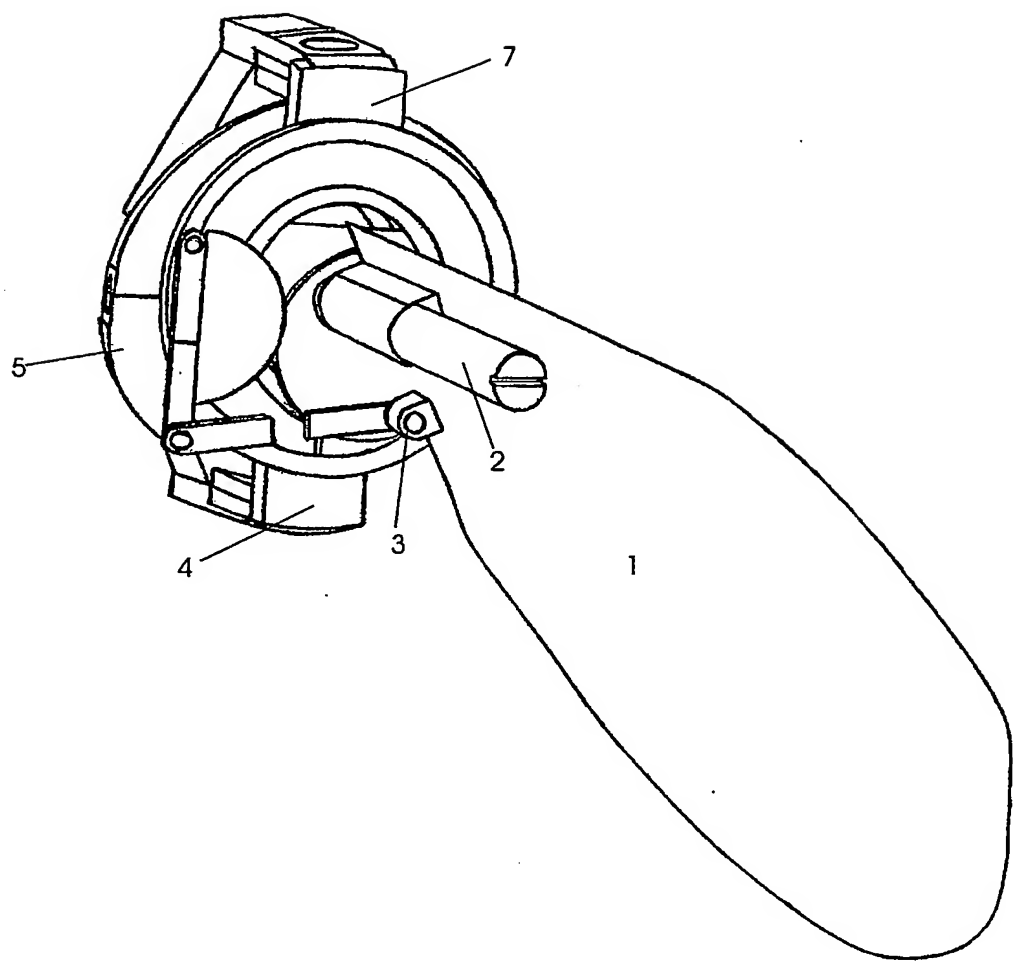


Fig. 4

5/26

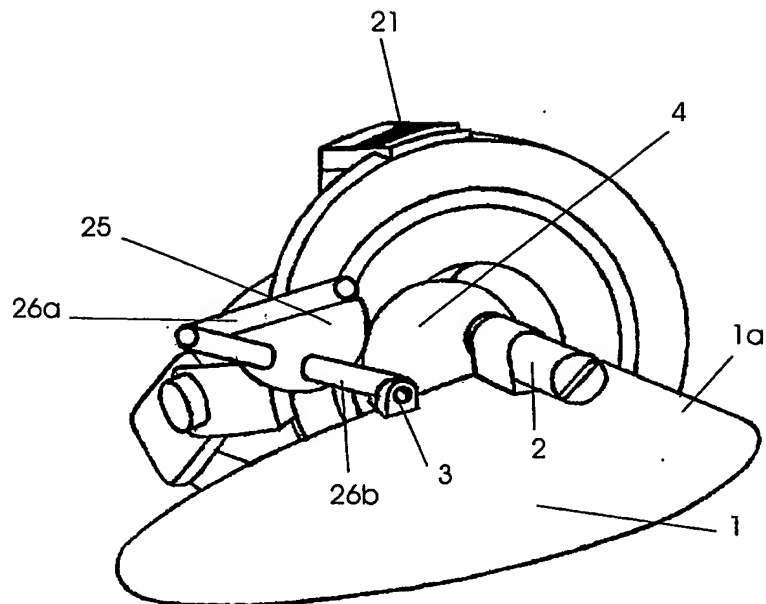


Fig. 5a

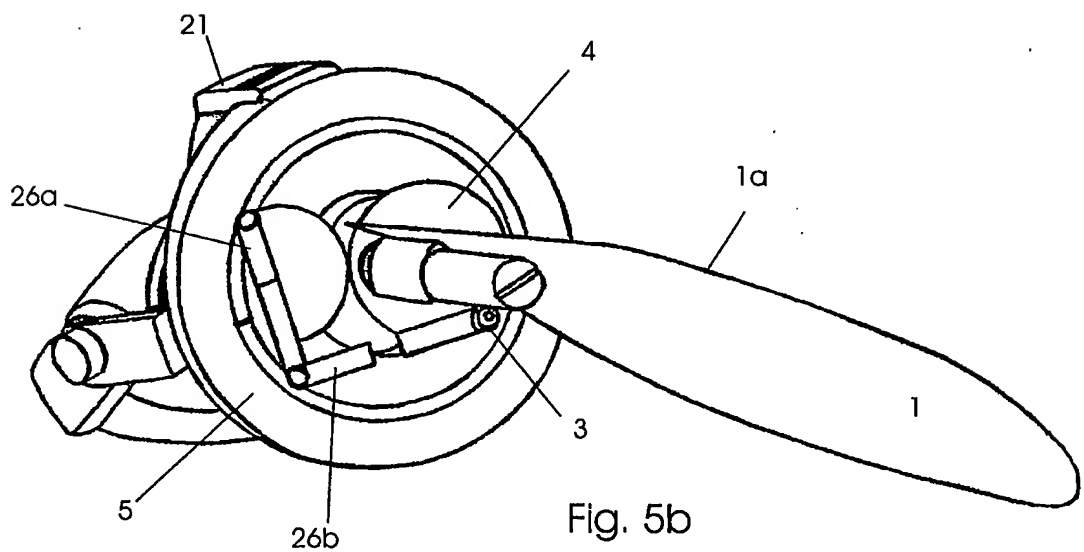
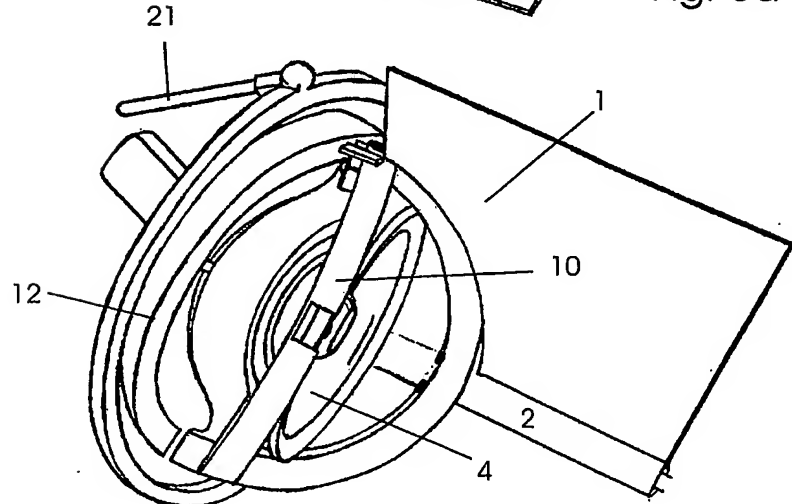
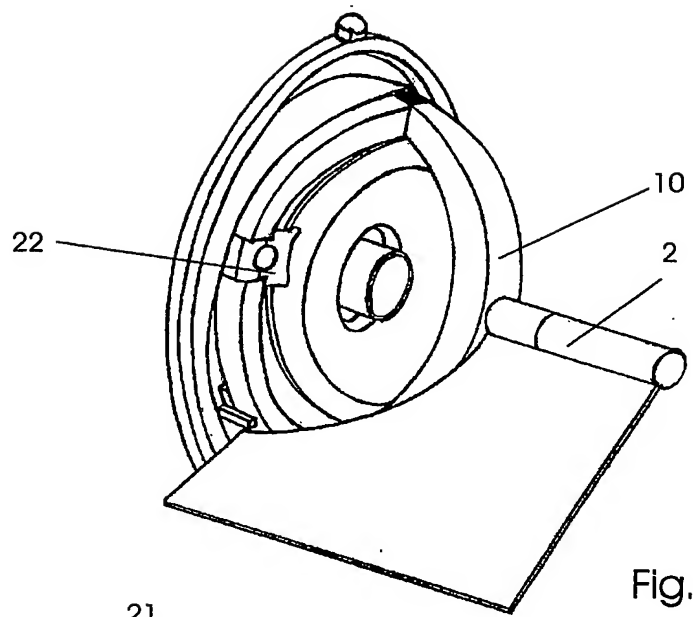


Fig. 5b

6/26



7/26

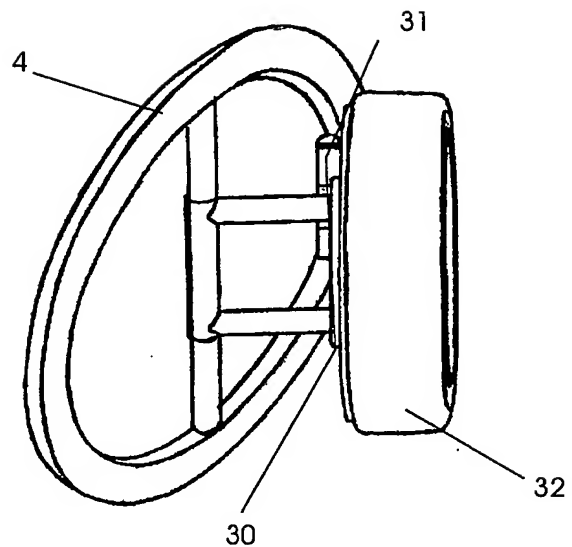


Fig. 7a

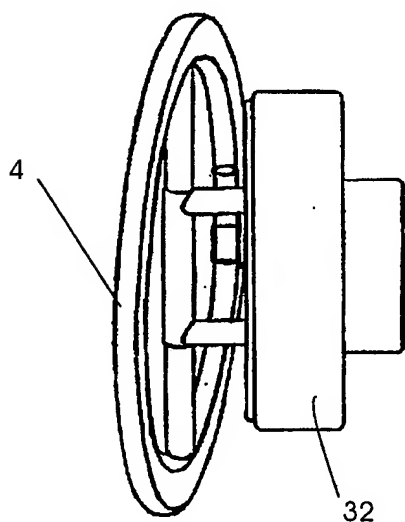


Fig. 7b

8/26

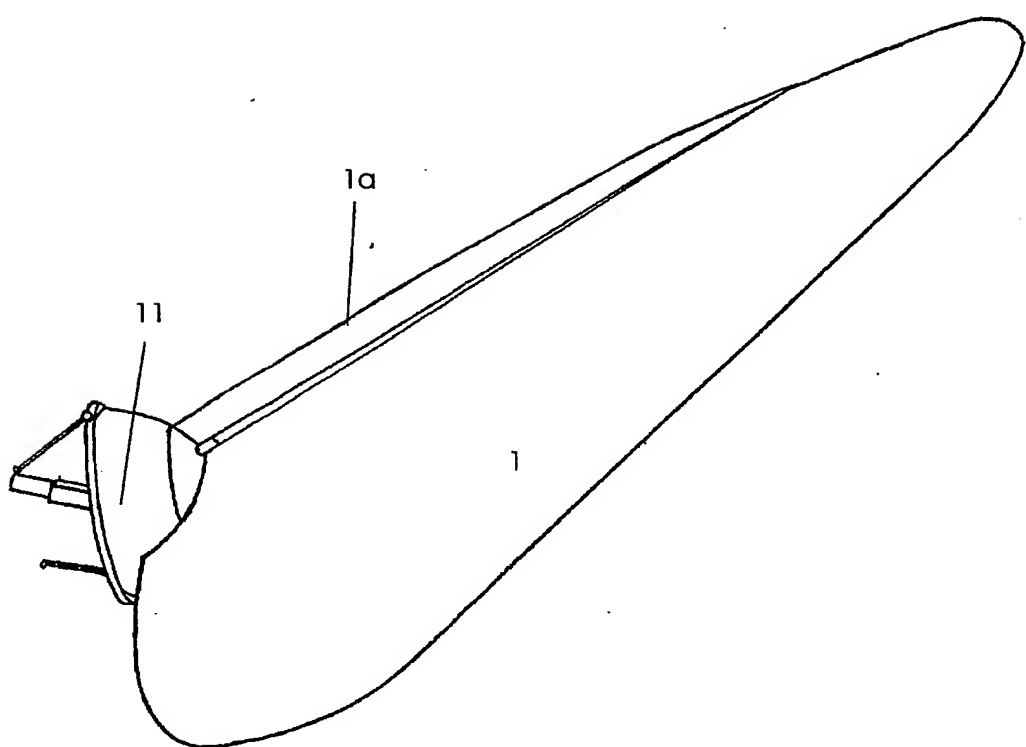


Fig. 8

9/26

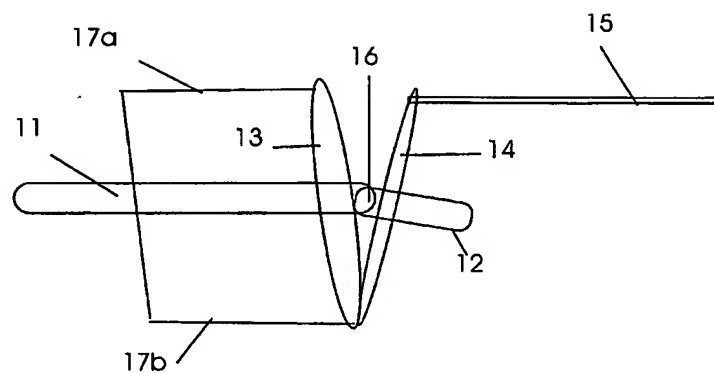


Fig. 9a

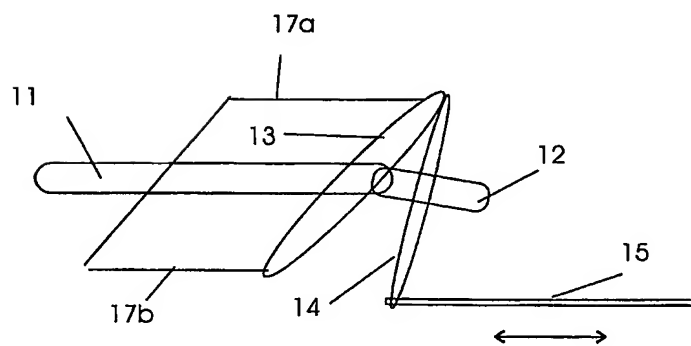


Fig. 9b

10/26

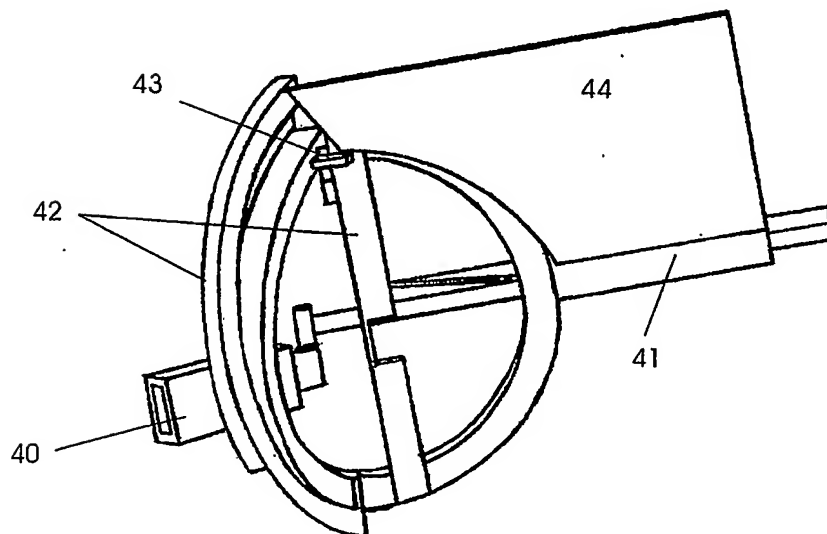
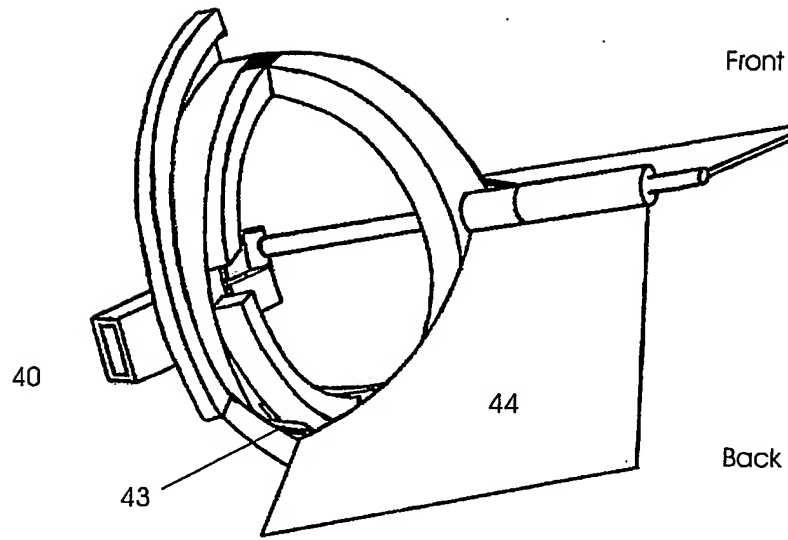


Fig. 10

11/26

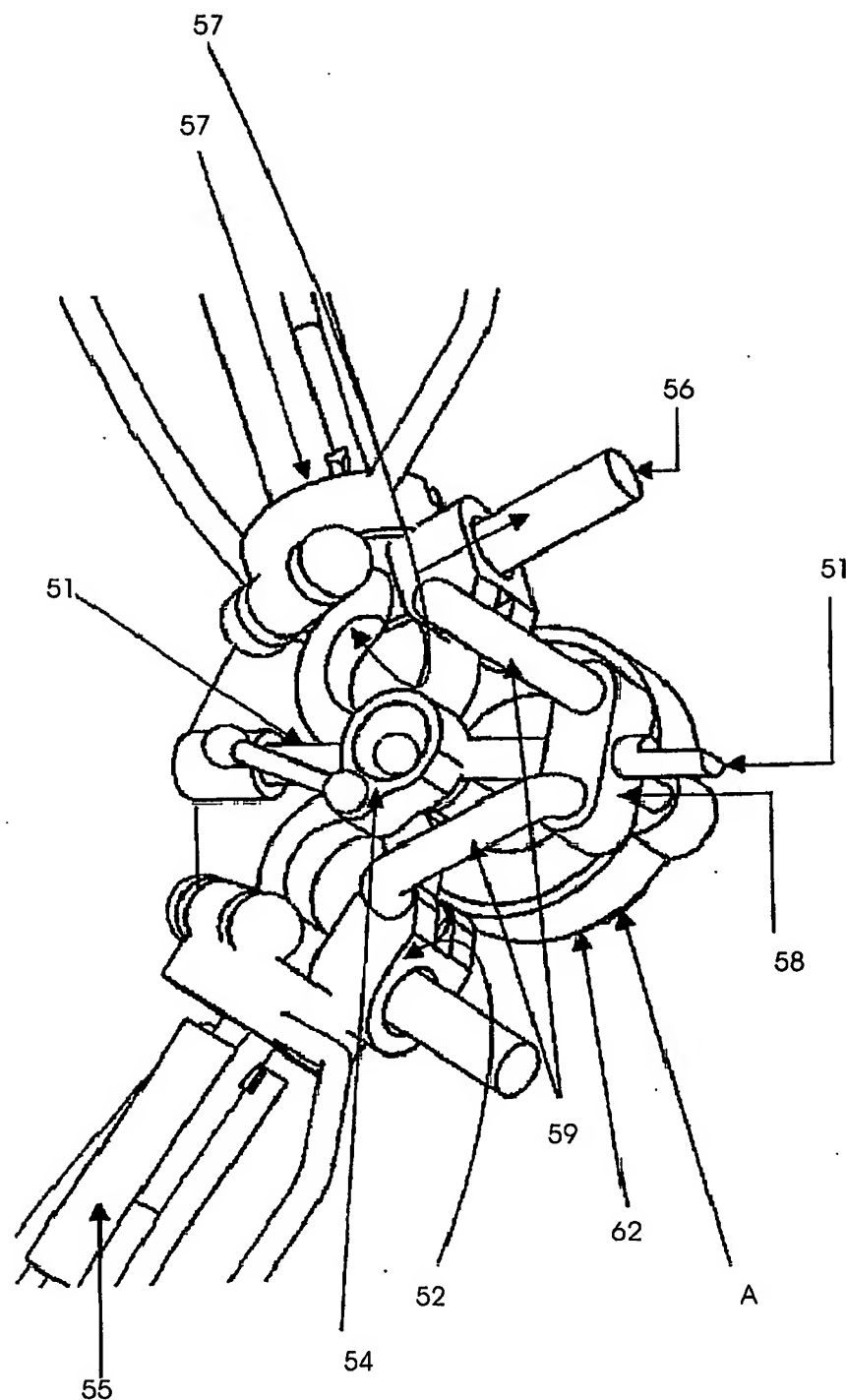


Fig. 11

12/26

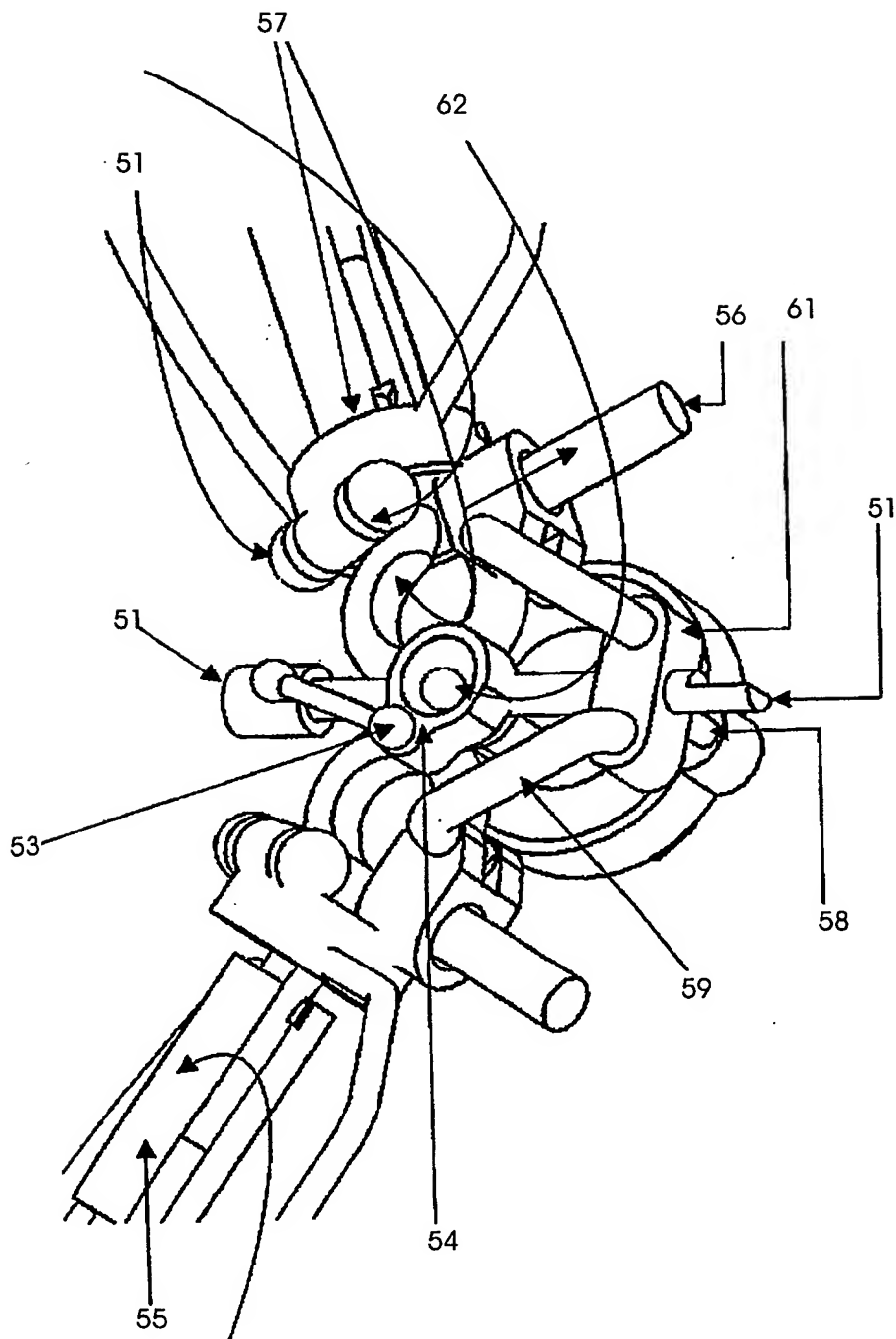
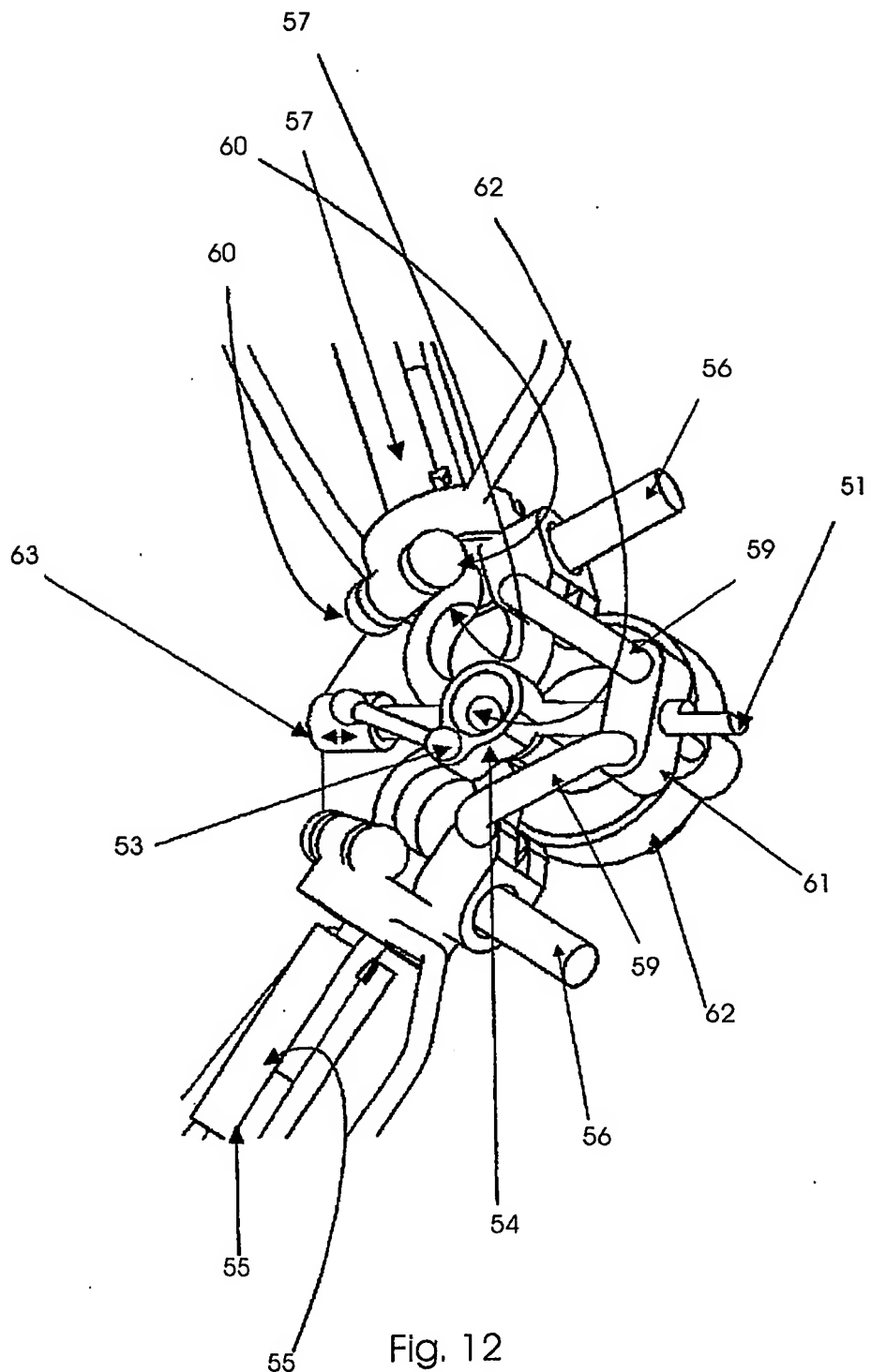


Fig. 11a

13/26



14/26

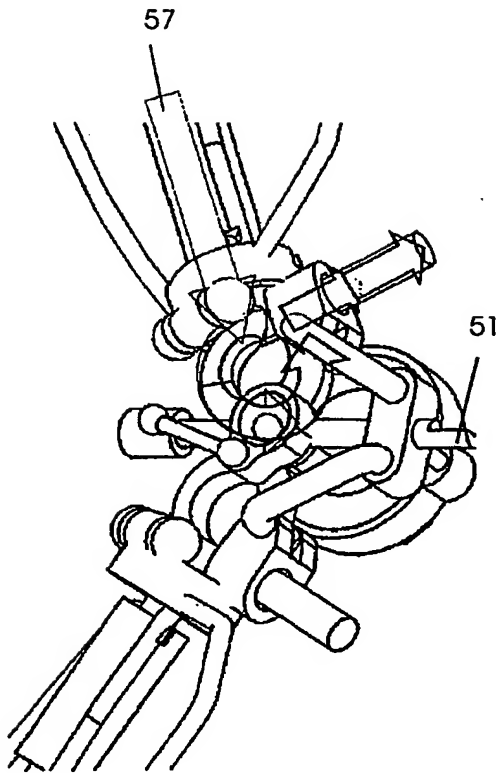


Fig. 13

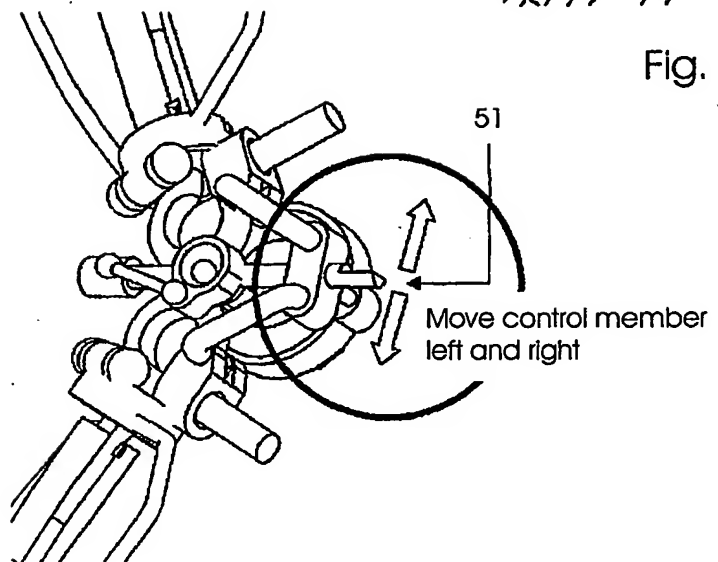


Fig. 14

15/26

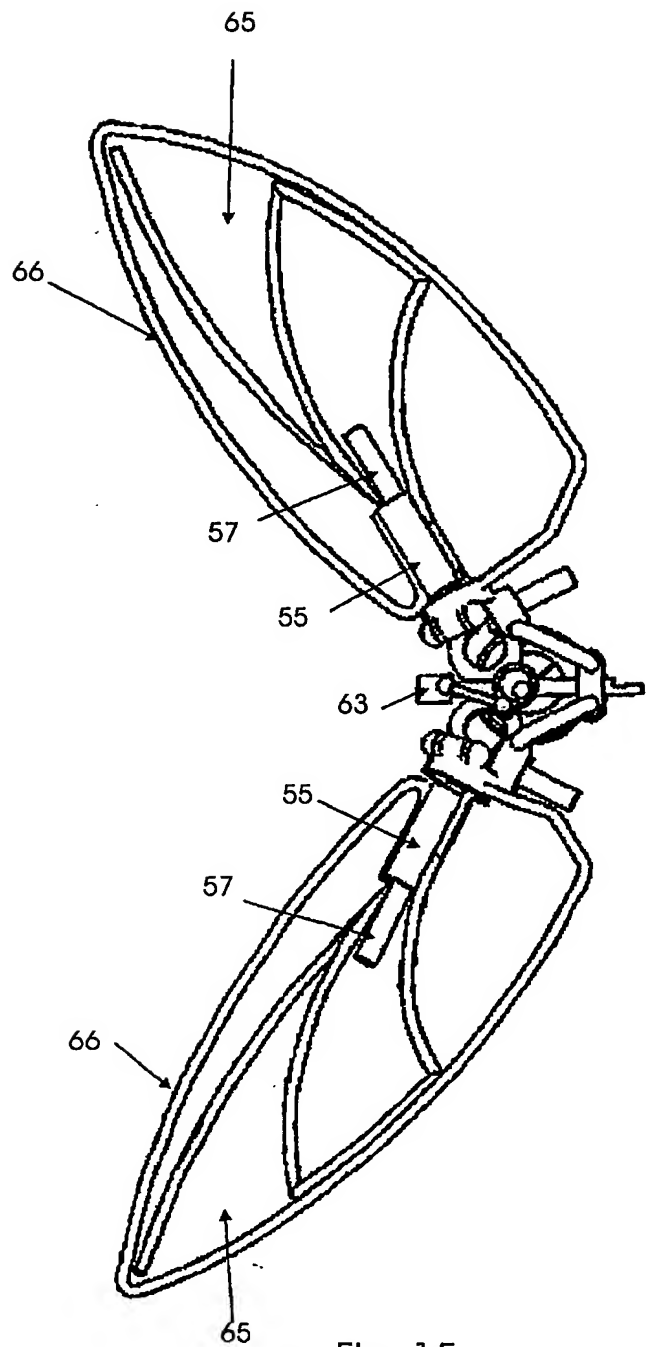


Fig. 15

16/26

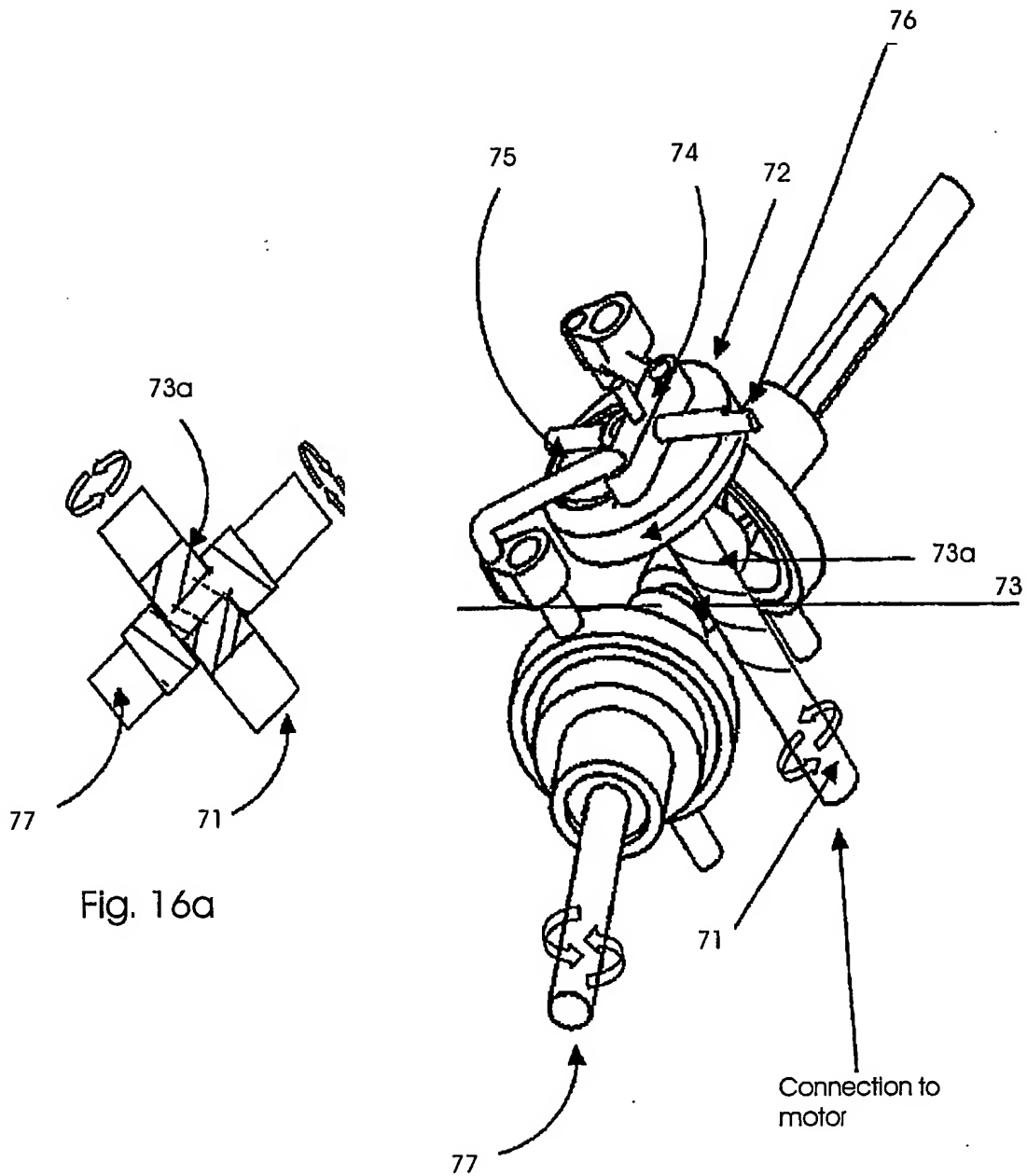
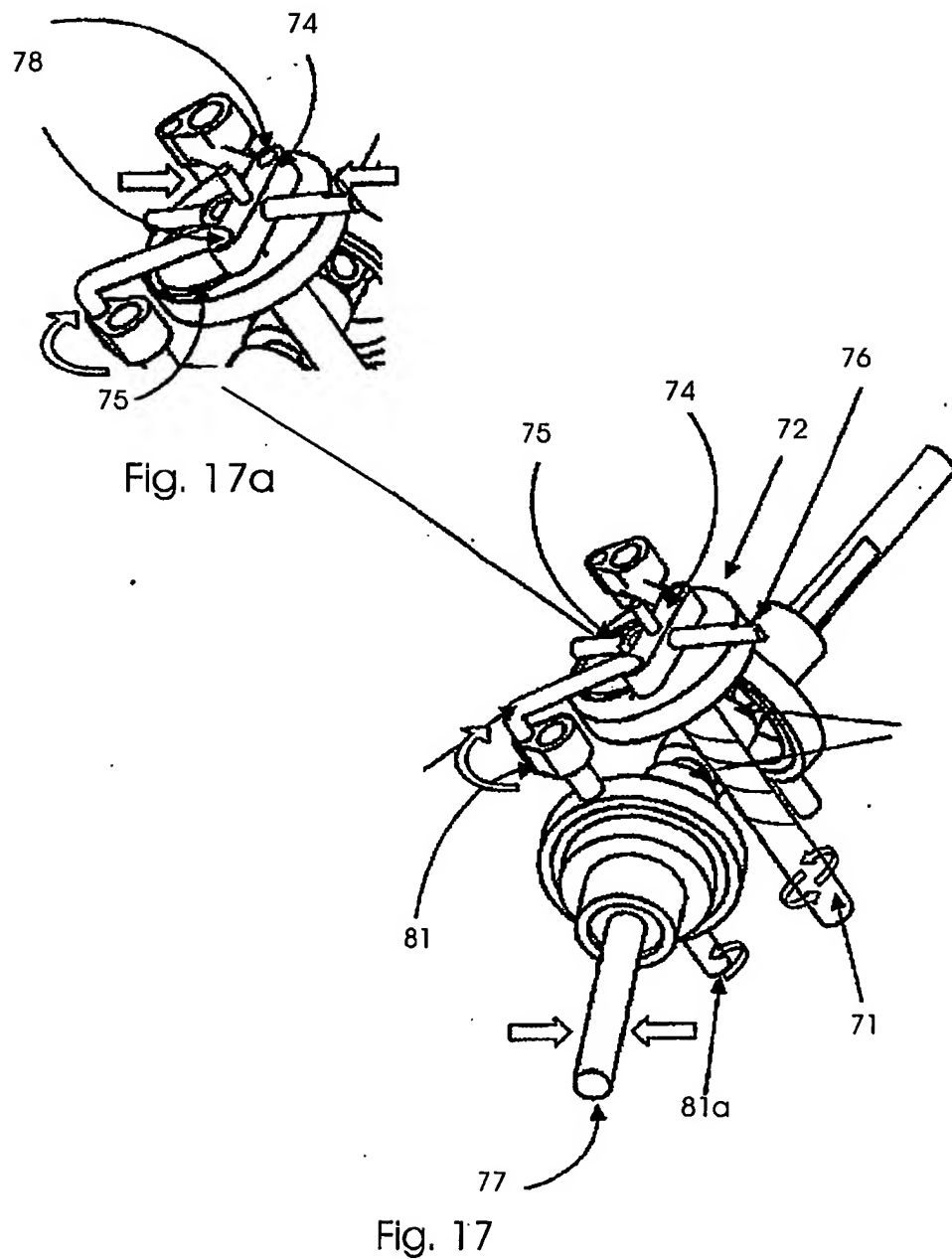


Fig. 16

17/26



18/26

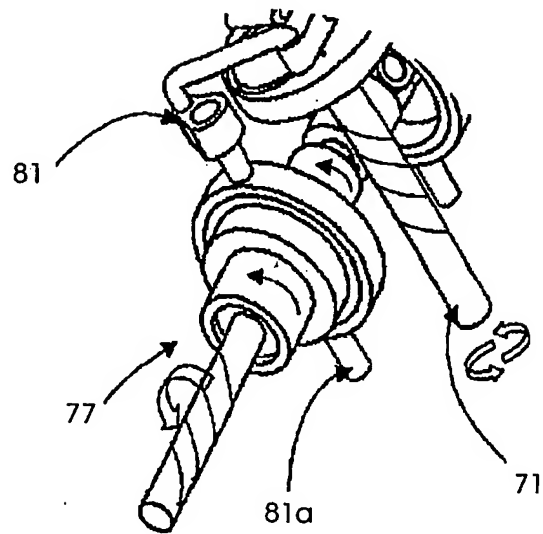
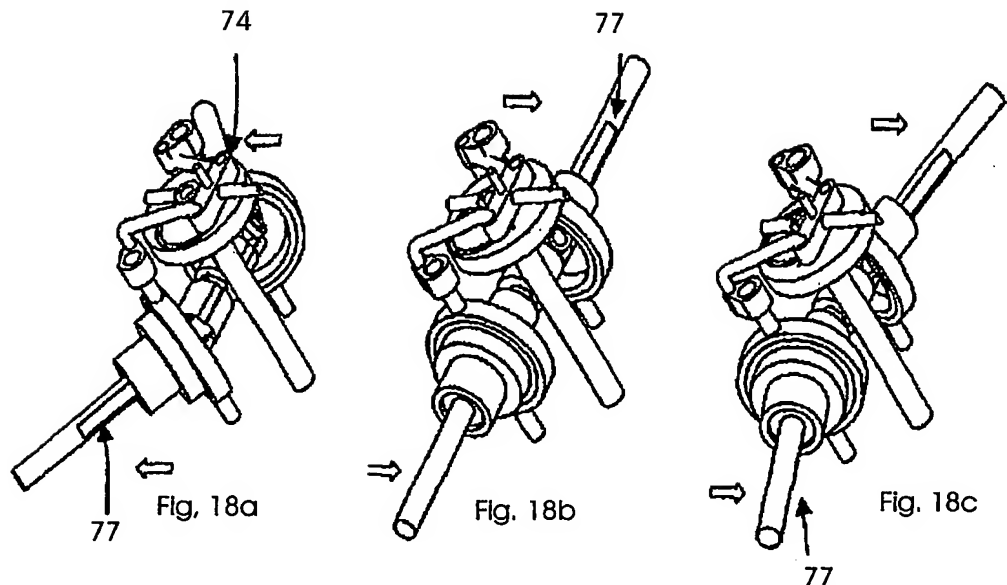
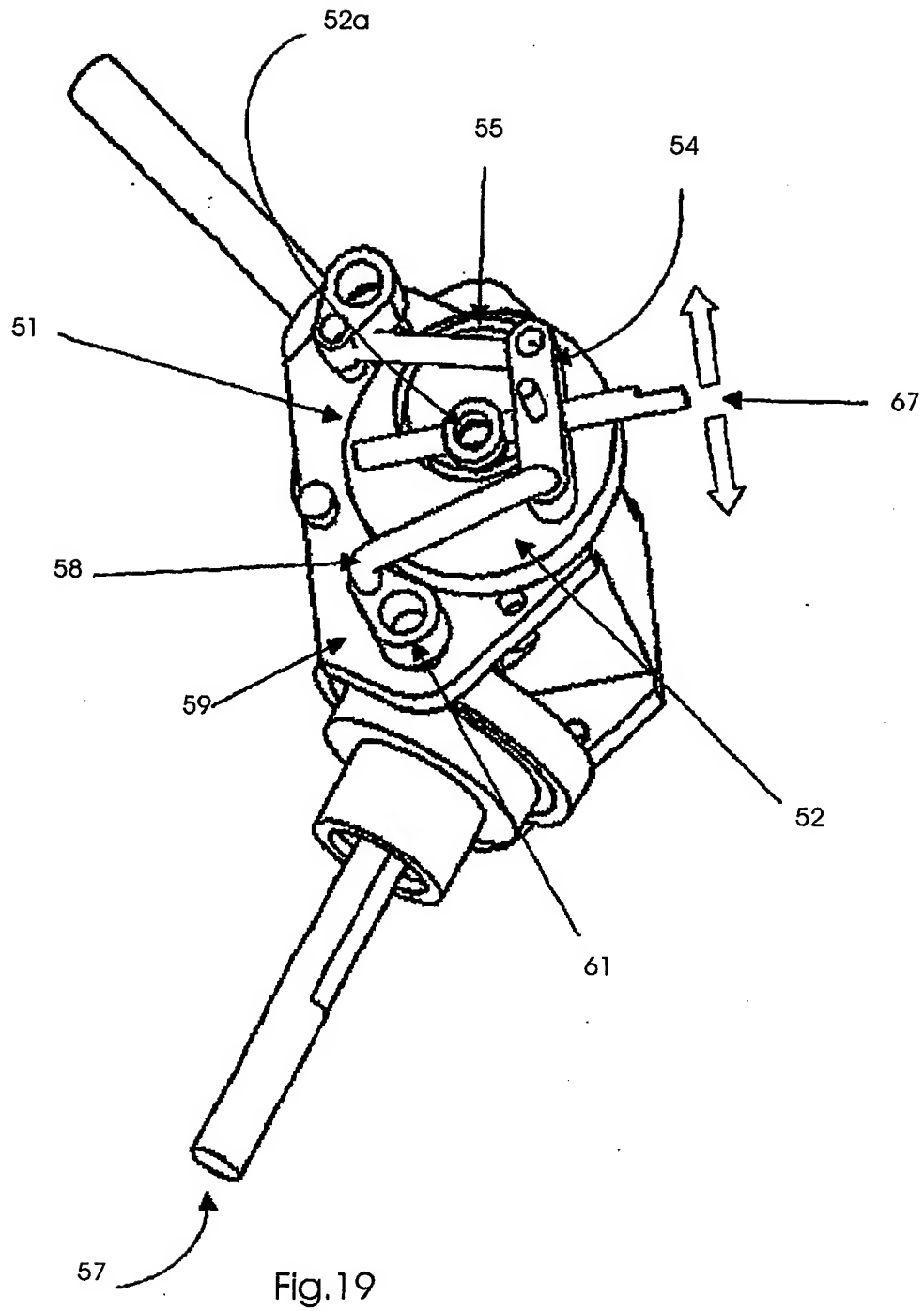


Fig. 18

19/26



20/26

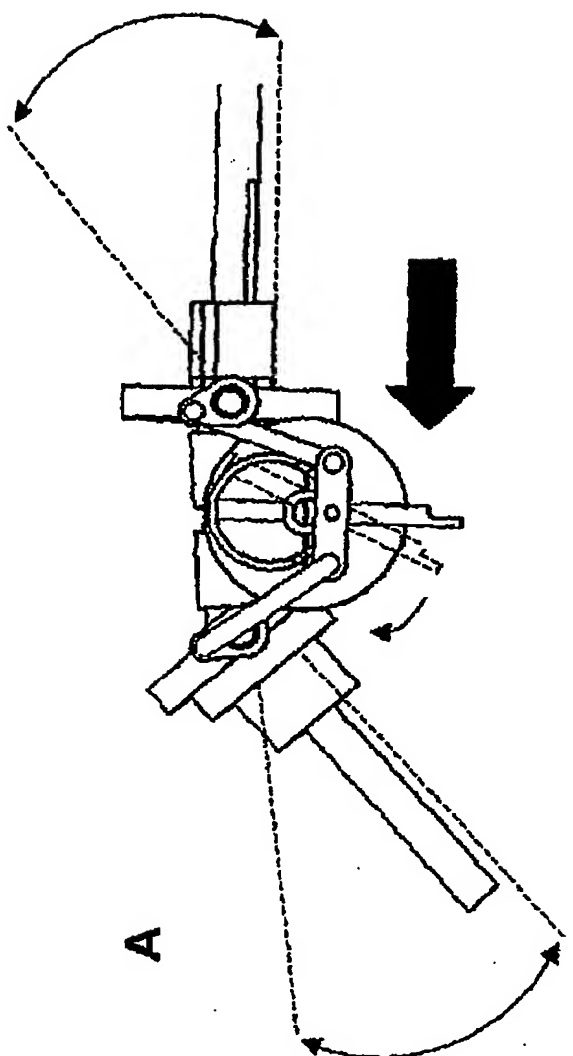


Fig. 20a

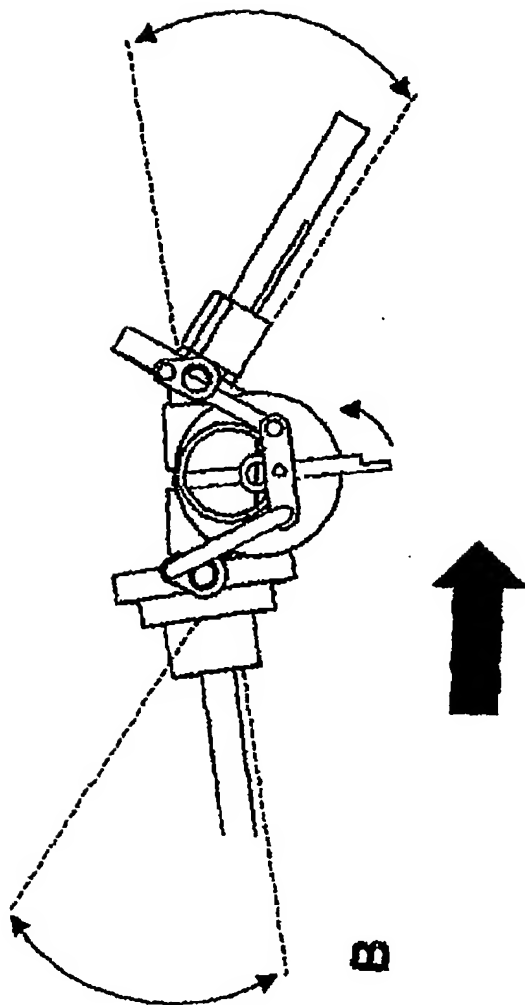


Fig. 20b

21/26

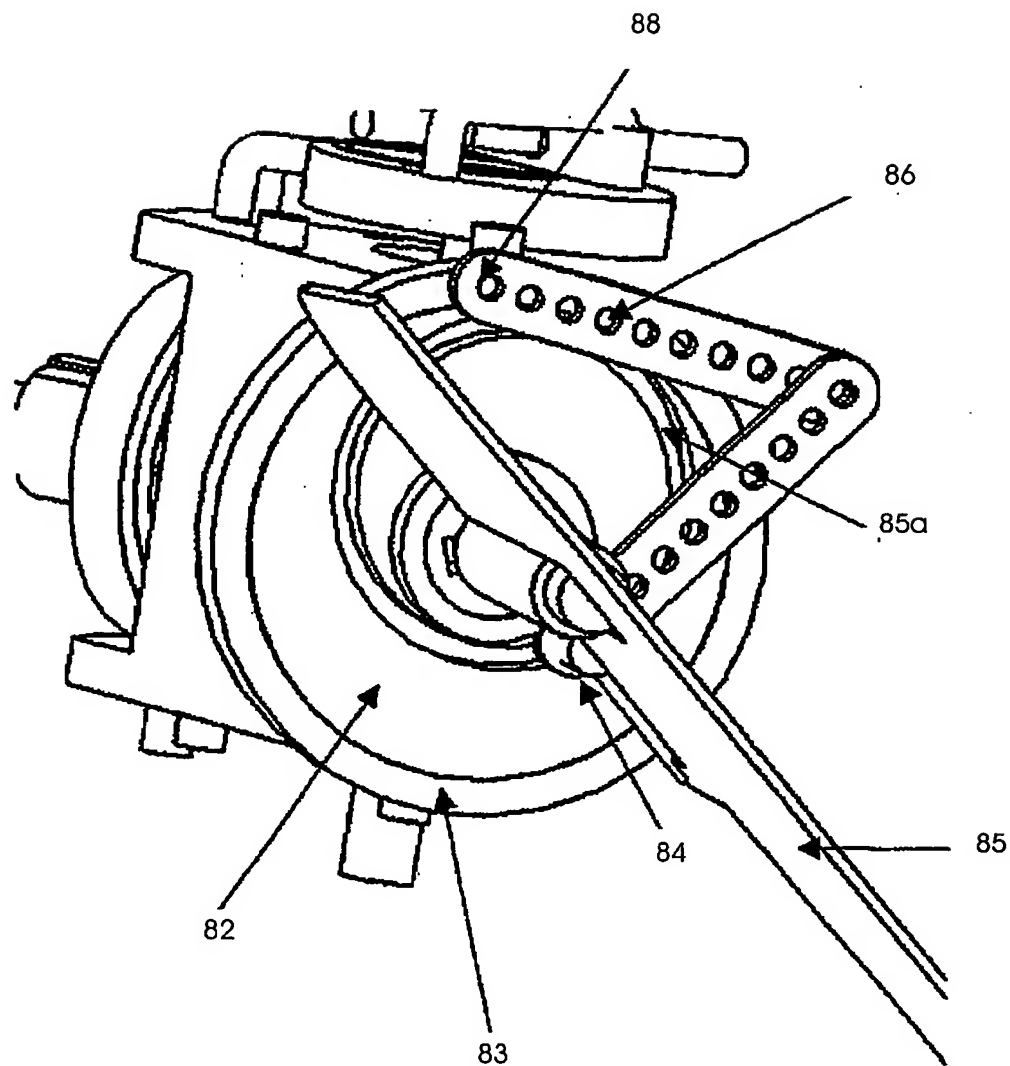


Fig. 21

22/26

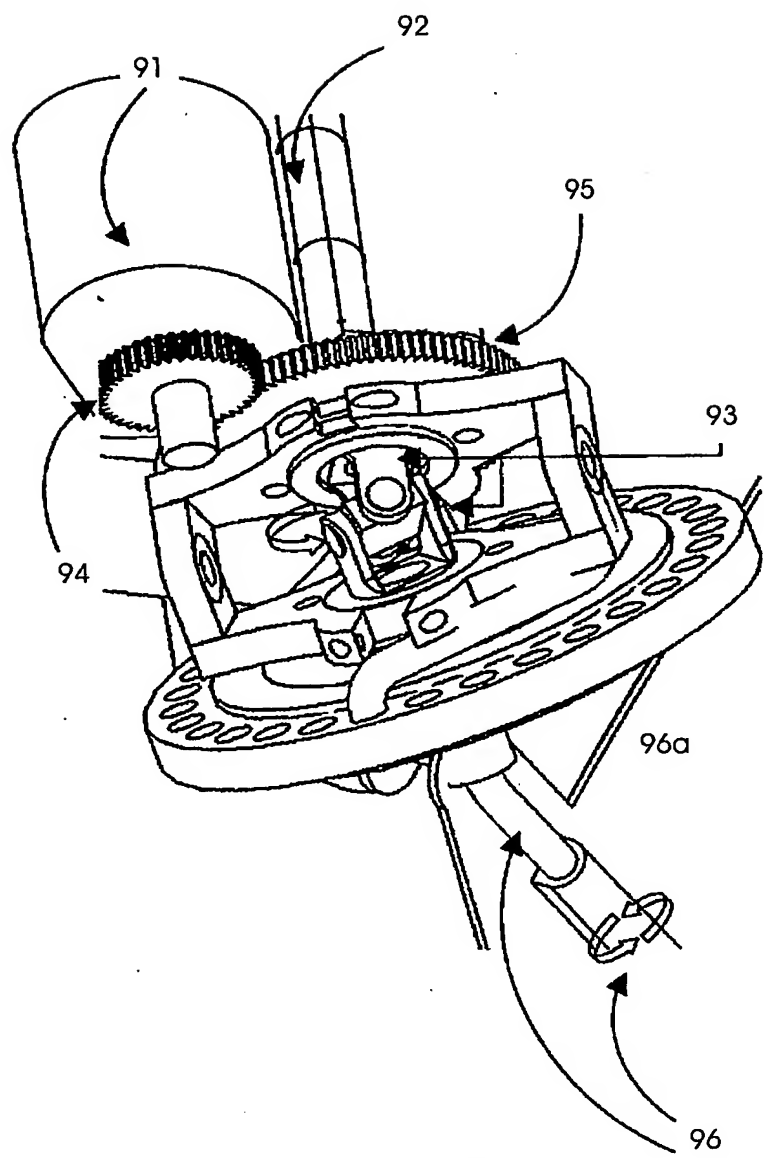


Fig. 22

23/26

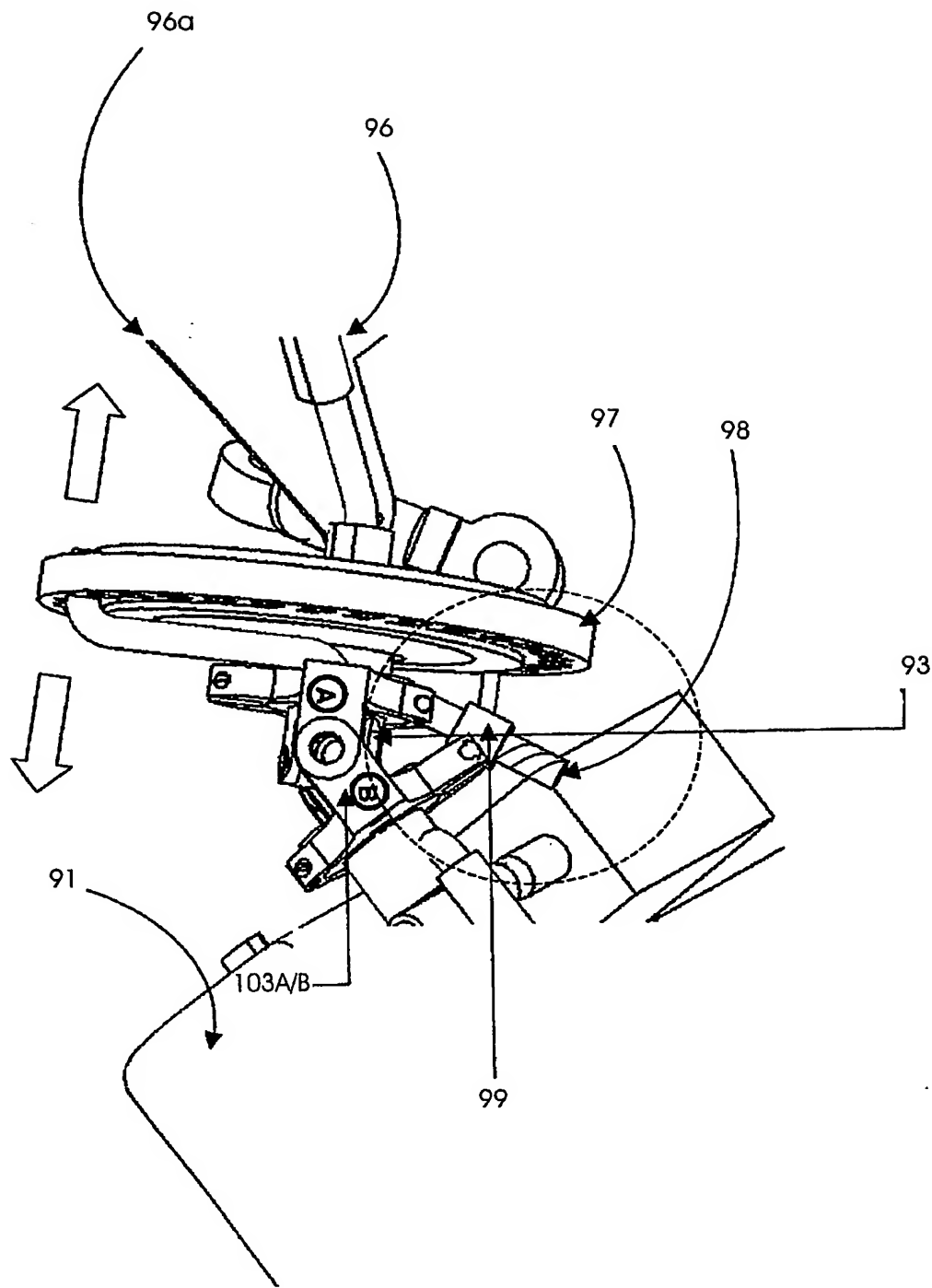


Fig. 23

24/26

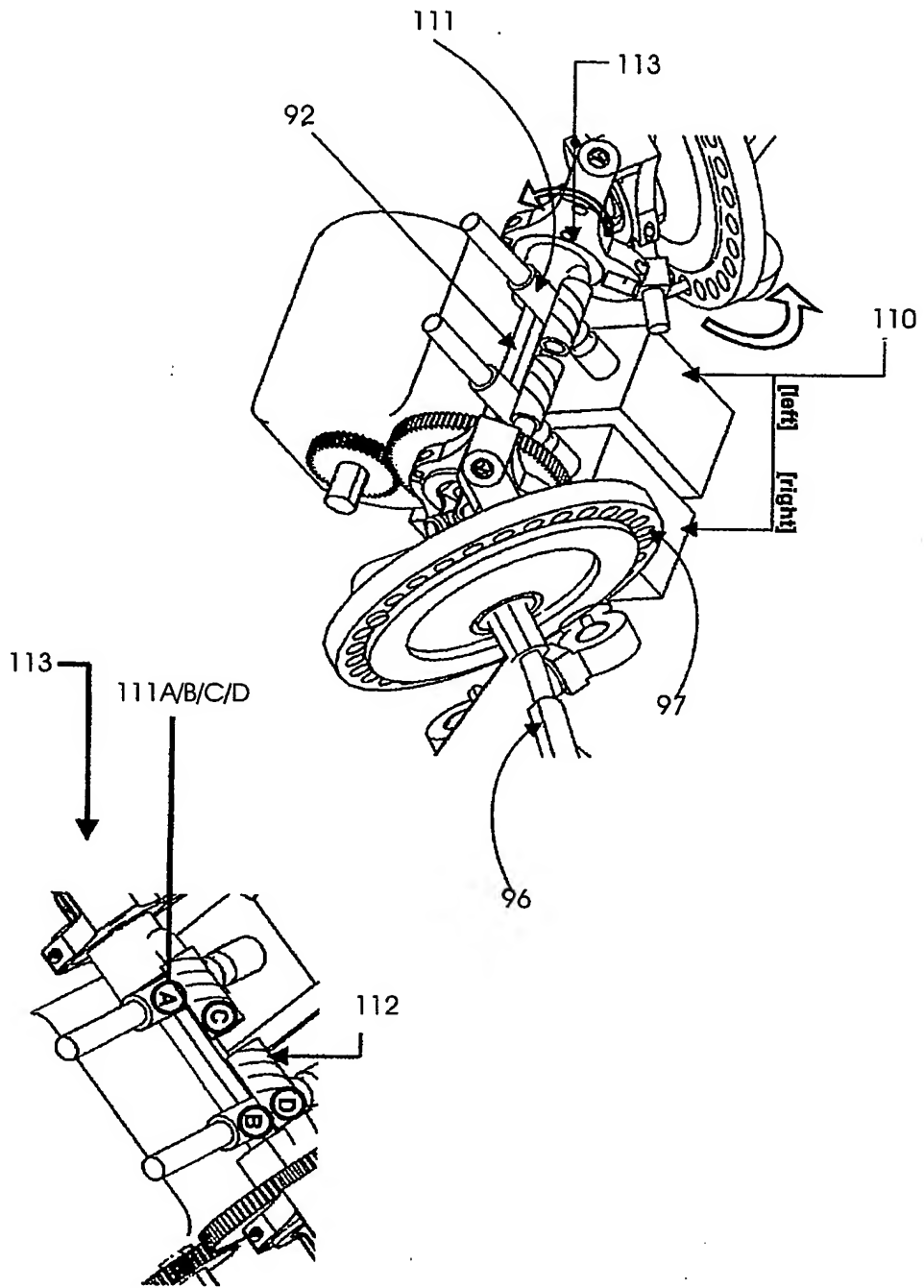


Fig. 24a

Fig. 24

25/26

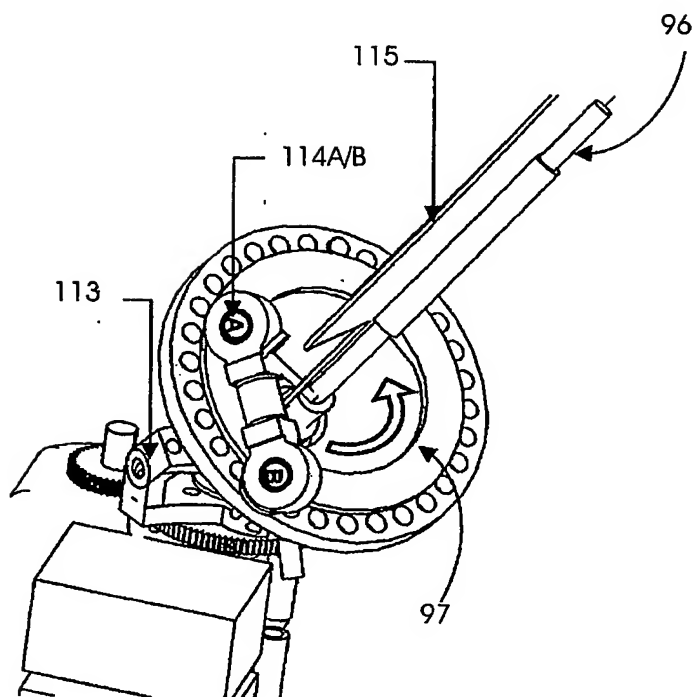


Fig. 25a

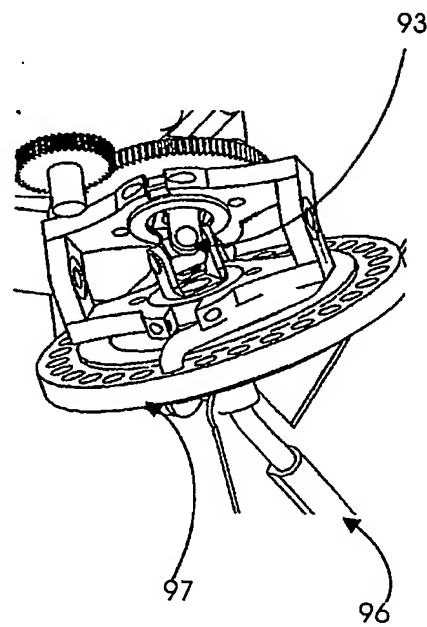


Fig. 25b

Fig. 25

26/26

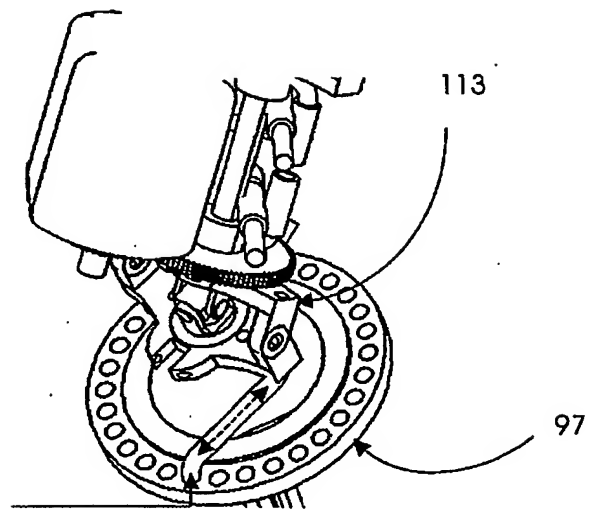


Fig. 26a

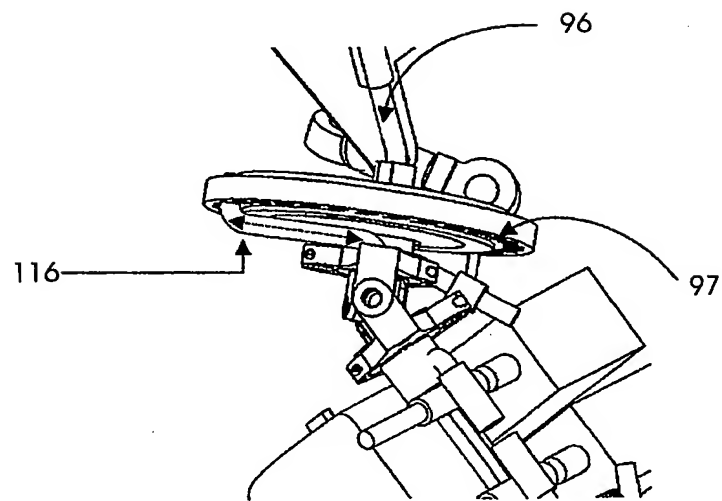


Fig. 26b

Fig. 26